

9 Noțiuni de eșantionare și interpolare

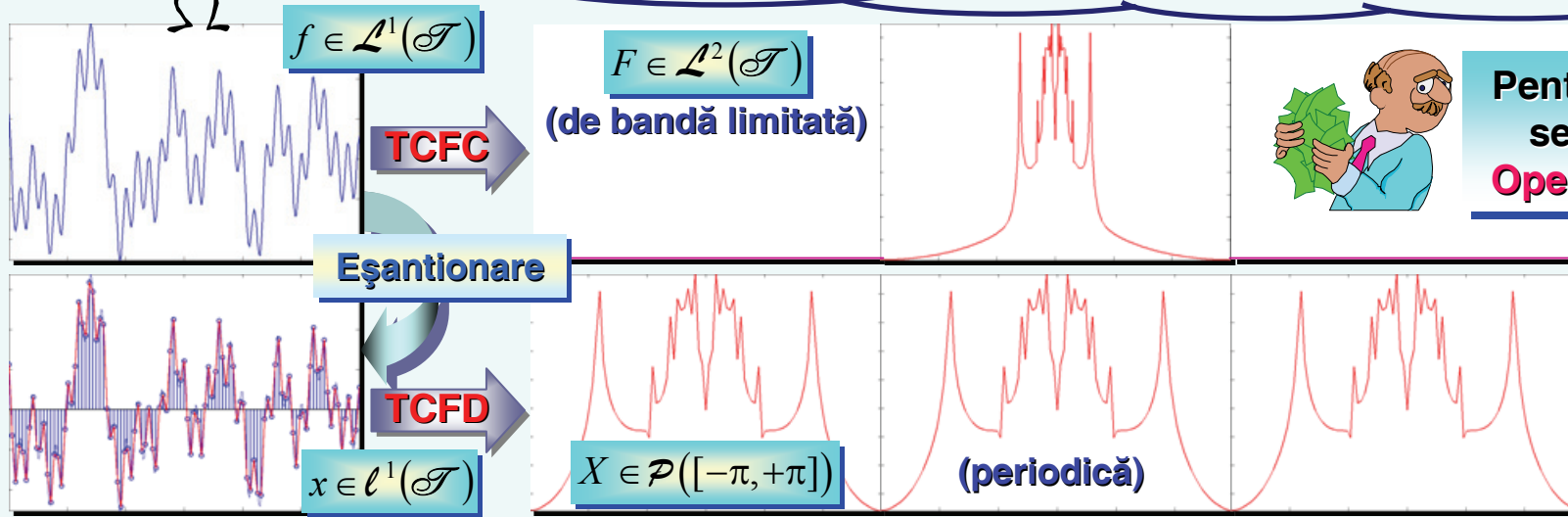
Efectul în frecvență al eșantionării

Se va analiza maniera în care semnalul eșantionat **poate conserva informația** semnalului continuu de la care provine.

Pentru conservarea informației prin eșantionare este suficient ca semnalul discret obținut să "îl redea cât mai fidel" în domeniul timpului pe cel continuu ?

- O serie de semnale practice (vocale, seismice, audio-video) au relevat faptul că, deși semnalul eșantionat **poate conduce la un interpolator suficient de precis în domeniul timpului**, **caracteristicile sale în frecvență pot fi sensibil diferite** de cele ale semnalului continuu original.

Care este raportul dintre caracteristicile în frecvență ale semnalului eșantionat și cele ale semnalului continuu ?



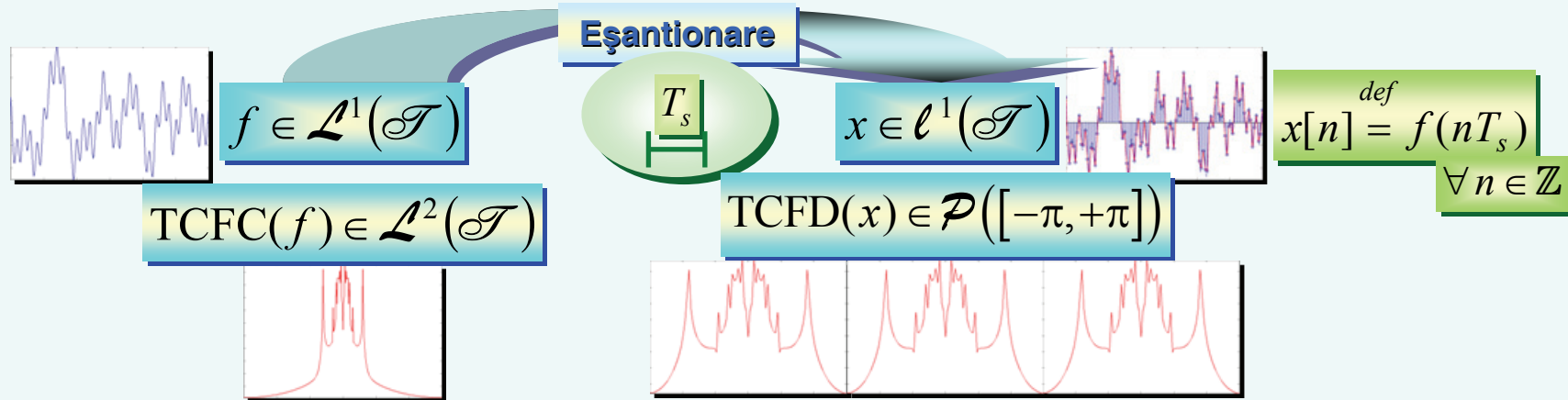
Pentru a răspunde, se poate utiliza **Operatorul Fourier**.



9 Noțiuni de eșantionare și interpolare

Efectul în frecvență al eșantionării (continuare)

- Se consideră următoarea operație generală de eșantionare:



Analiză

$$\mathcal{F}(f)(j\Omega) = F(j\Omega) = \int_{-\infty}^{+\infty} f(t) e^{-j\Omega t} dt \quad \forall \Omega \in \mathbb{R}$$

Analiză

$$\mathcal{F}(x)(e^{j\omega}) = X(e^{j\omega}) = \sum_{n \in \mathbb{Z}} x[n] e^{-j\omega n} = \sum_{n \in \mathbb{Z}} f(nT_s) e^{-j\omega n} \quad \forall \omega \in \mathbb{R}$$

Sinteză

$$f(t) = \mathcal{F}^{-1}(F)(t) = \frac{1}{2\pi} \int_{-\infty}^{+\infty} F(j\Omega) e^{+j\Omega t} d\Omega \quad \forall t \in \mathbb{R}$$

Sinteză

$$x[n] = \mathcal{F}^{-1}(X)[n] = \frac{1}{2\pi} \int_{-\pi}^{+\pi} X(e^{j\omega}) e^{+j\omega n} d\omega \quad \forall n \in \mathbb{Z}$$

Ce relație există între X și F ?

Se poate evalua cu ajutorul
ecuațiilor lui Fourier.



⑨ Noțiuni de eșantionare și interpolare

Efectul în frecvență al eșantionării (continuare)



Propoziția 4 (relația de aliere în frecvență)

În contextul descris la pagina anterioară, între **TCFC** a semnalului continuu și **TCFD** a semnalului discret obținut prin eșantionare se stabilește următoarea **relație de "aliere" (dedublare) în frecvență**:

$$X(e^{j\omega}) \stackrel{\text{apt}}{=} \frac{1}{T_s} \sum_{k \in \mathbb{Z}} F\left(j \frac{\omega + 2k\pi}{T_s}\right), \quad \forall \omega \in \mathbb{R}.$$

Demonstrație

Plecînd de la operatorul Fourier invers exprimat pentru fiecare din cele două semnale, se poate exprima următoarea egalitate:

$$x[n] = \frac{1}{2\pi} \int_{-\pi}^{+\pi} \underbrace{X(e^{j\omega})}_{\text{TCFD}^{-1}} e^{+j\omega n} d\omega = \frac{1}{2\pi} \int_{-\infty}^{+\infty} \underbrace{F(j\Omega)}_{\text{TCFC}^{-1}} e^{+jn\Omega T_s} d\Omega, \quad \forall n \in \mathbb{Z}.$$

\uparrow
 def
 $x[n] = f(nT_s), \quad \forall n \in \mathbb{Z}$

Deoarece operatorul Fourier este inversabil, recuperarea fiecărui eșantion al semnalului discret se poate efectua cu ajutorul unei Transformate Fourier **unic determinate**, în sensul egalității apt.

Egalitatea integrală la care s-a ajuns poate fi atunci exploatată pentru a obține o exprimare echivalentă a **TCFD** – ca element integrat în relația de inversiune.

Pentru aceasta, limitele integralei termenului din dreapta egalității trebuie egalate cu cele ale integralei termenului din stînga.



9 Noțiuni de eșantionare și interpolare

Efectul în frecvență al eșantionării (continuare)



Propoziția 4 (relația de aliere în frecvență)

Demonstrație (continuare)

Axa reală închisă poate fi segmentată într-o familie numărabilă de intervale compacte:

$$\overline{\mathbb{R}} = \bigcup_{k \in \mathbb{Z}} \left[\frac{(2k-1)\pi}{T_s}, \frac{(2k+1)\pi}{T_s} \right].$$

Integrala **TCFC**⁻¹ se poate atunci evalua cu ajutorul acestei proprietăți de segmentare:

$$x[n] = \frac{1}{2\pi} \sum_{k \in \mathbb{Z}} \left(\int_{\frac{(2k-1)\pi}{T_s}}^{\frac{(2k+1)\pi}{T_s}} F(j\Omega) e^{+jn\Omega T_s} d\Omega \right), \quad \forall n \in \mathbb{Z}.$$

Integrala din interiorul sumei trebuie transformată astfel încât limitele sale să fie $-\pi$ și $+\pi$. Este ușor de observat că, pentru a obține acest efect, se poate aplica schimbarea de variabilă care urmează:

pulsatie absolută [rad/s] $\xrightarrow{\text{factor de normalizare [s]}}$ pulsatie relativă, normalizată [rad] $\rightarrow \omega = \overset{\text{def}}{\Omega T_s} - 2k\pi, \quad \forall \Omega \in \left[\frac{(2k-1)\pi}{T_s}, \frac{(2k+1)\pi}{T_s} \right].$

Expresia eșantionului curent al semnalului discret devine:

$$x[n] = \frac{1}{2\pi T_s} \sum_{k \in \mathbb{Z}} \left[\int_{-\pi}^{+\pi} F\left(j \frac{\omega + 2k\pi}{T_s}\right) e^{+jn(\omega + 2k\pi)} d\omega \right] \overset{\uparrow}{=} \frac{1}{2\pi T_s} \sum_{k \in \mathbb{Z}} \left[\int_{-\pi}^{+\pi} F\left(j \frac{\omega + 2k\pi}{T_s}\right) e^{+j\omega n} d\omega \right], \quad \forall n \in \mathbb{Z}.$$

$e^{2nk\pi j} = 1, \quad \forall n, k \in \mathbb{Z}$



9 Noțiuni de eșantionare și interpolare

Efectul în frecvență al eșantionării (continuare)



Propoziția 4 (relația de aliere în frecvență)

Demonstrație (continuare)

Integralele care definesc Operatorii Fourier inverși fiind convergente, rezultă că suma infinită comută cu integrala (suma fiind la rîndul ei convergentă):

$$x[n] = \frac{1}{2\pi T_s} \int_{-\pi}^{+\pi} \left[\sum_{k \in \mathbb{Z}} F \left(j \frac{\omega + 2k\pi}{T_s} \right) \right] e^{+j\omega n} d\omega, \quad \forall n \in \mathbb{Z}.$$

S-a obținut, astfel, următoarea identitate:

$$x[n] = \frac{1}{2\pi} \int_{-\pi}^{+\pi} X(e^{j\omega}) e^{+j\omega n} d\omega = \frac{1}{2\pi} \int_{-\pi}^{+\pi} \left[\frac{1}{T_s} \sum_{k \in \mathbb{Z}} F \left(j \frac{\omega + 2k\pi}{T_s} \right) \right] e^{+j\omega n} d\omega, \quad \forall n \in \mathbb{Z}.$$

Ea este echivalentă cu:

$$\frac{1}{2\pi} \int_{-\pi}^{+\pi} \left[X(e^{j\omega}) - \frac{1}{T_s} \sum_{k \in \mathbb{Z}} F \left(j \frac{\omega + 2k\pi}{T_s} \right) \right] e^{+j\omega n} d\omega = 0, \quad \forall n \in \mathbb{Z}.$$

Cum Transformata Fourier a secvenței discrete identic nule este nulă apt, rezultă:

$$X(e^{j\omega}) \stackrel{\text{apt}}{=} \frac{1}{T_s} \sum_{k \in \mathbb{Z}} F \left(j \frac{\omega + 2k\pi}{T_s} \right) \quad \forall \omega \in \mathbb{R}$$

🔥 **Formulă de aliere în frecvență.**



9 Noțiuni de eșantionare și interpolare



Efectul în frecvență al eșantionării (continuare)

Așadar

$$X(e^{j\omega}) \stackrel{\text{apt}}{=} \frac{1}{T_s} \sum_{k \in \mathbb{Z}} F\left(j \frac{\omega + 2k\pi}{T_s}\right)$$

$$\forall \omega \in \mathbb{R}$$

Termenul este sugerat de fenomenul de **combinare** (**aliere**) între liniile spectrale din benzi diferite de frecvență.



Aliere în frecvență?



- În limba engleză, termenul consacrat este cel de **aliasing**...
... care s-ar traduce prin... "**travestire**", "**deghizare**", "**poreclire**" ... sau, mai elegant, prin "**dedublare**". 😊
- Liniile spectrale dintr-o bandă de frecvențe se "**dedublează**" pentru putea a interveni în altă bandă.

Prin eșantionare, informația transportată de semnalul original se conservă dacă în suma de aliere în frecvență **un singur termen este nenul pentru fiecare pulsație specificată**.

Exemplu

$$X(e^{j\omega}) \stackrel{\text{apt}}{=} \frac{1}{T_s} F\left(j \frac{\omega}{T_s}\right)$$

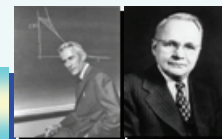
$$\forall \omega \in [-\pi, +\pi]$$

👉 Transformatele Fourier sunt practic **proporționale**, deci "alurile" lor sunt **identice**.

- Cu alte cuvinte, termenii sumei de aliere nu se suprapun, adică **nu se aliază** (**nu coalescează**) în evaluarea valorilor **TCFD**.
- Alierea termenilor sumei conduce la distorsionarea **Transformatei Fourier** și, în consecință, la alterarea informației transportate de semnalul original.
- În cazul **semnalelor de bandă nelimitată**, ne-alierea termenilor sumei **este imposibilă**.
- În cazul **semnalelor de bandă limitată**, ne-alierea termenilor sumei este posibilă **numai dacă perioada de eșantionare are valori alese corespunzător**.



Regula Shannon-Nyquist



98



9 Noțiuni de eșantionare și interpolare

Efectul în frecvență al eșantionării (continuare)



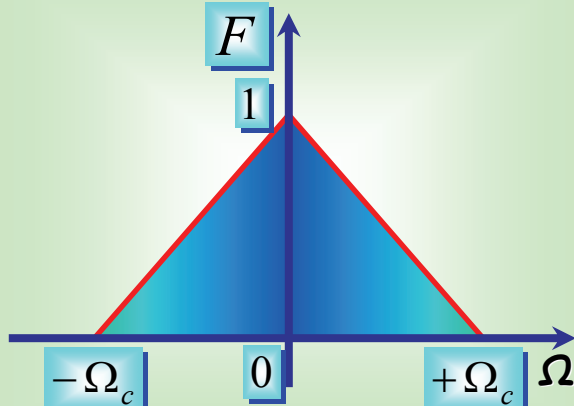
Regula Shannon-Nyquist?



Metodă de alegere a perioadei de eșantionare pentru **semnalele continue de bandă limitată**.

Exemplu

Un semnal continuu cu TF triunghiulară



$$\text{Supp}(F) \subseteq [-\Omega_c, +\Omega_c]$$

pulsatie absolută de tăiere [rad/s]

$$F(j\Omega) = \begin{cases} 0 & , \Omega \in \mathbb{R} \setminus [-\Omega_c, +\Omega_c] \\ 1 + \frac{\Omega}{\Omega_c} & , \Omega \in [-\Omega_c, 0) \\ 1 - \frac{\Omega}{\Omega_c} & , \Omega \in [0, +\Omega_c] \end{cases}$$

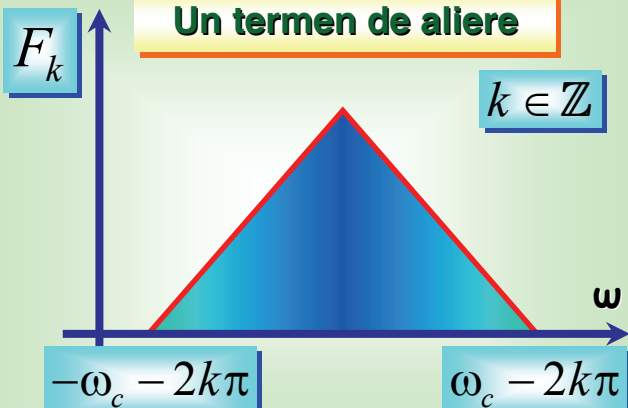
Exercițiu

$$f = ?$$

pulsatie normalizată de tăiere [rad]

$$\omega_c \stackrel{\text{def}}{=} \Omega_c T_s$$

Un termen de aliere



$$F\left(j\frac{\omega + 2k\pi}{T_s}\right) = \underbrace{F_k(j\omega)}_{F_k(j\omega)} = \begin{cases} 0 & , \omega \in \mathbb{R} \setminus [-\omega_c - 2k\pi, \omega_c - 2k\pi] \\ 1 + \frac{2k\pi}{\omega_c} + \frac{\omega}{\omega_c} & , \omega \in [-\omega_c - 2k\pi, -2k\pi) \\ 1 - \frac{2k\pi}{\omega_c} - \frac{\omega}{\omega_c} & , \omega \in [-2k\pi, \omega_c - 2k\pi] \end{cases}$$

$$\text{Supp}(F_k) \subseteq [-\omega_c - 2k\pi, \omega_c - 2k\pi]$$



9 Noțiuni de eșantionare și interpolare

Efectul în frecvență al eșantionării (continuare)



Distorsiuni mai severe pentru suprapuneri de mai mult de două benzi.

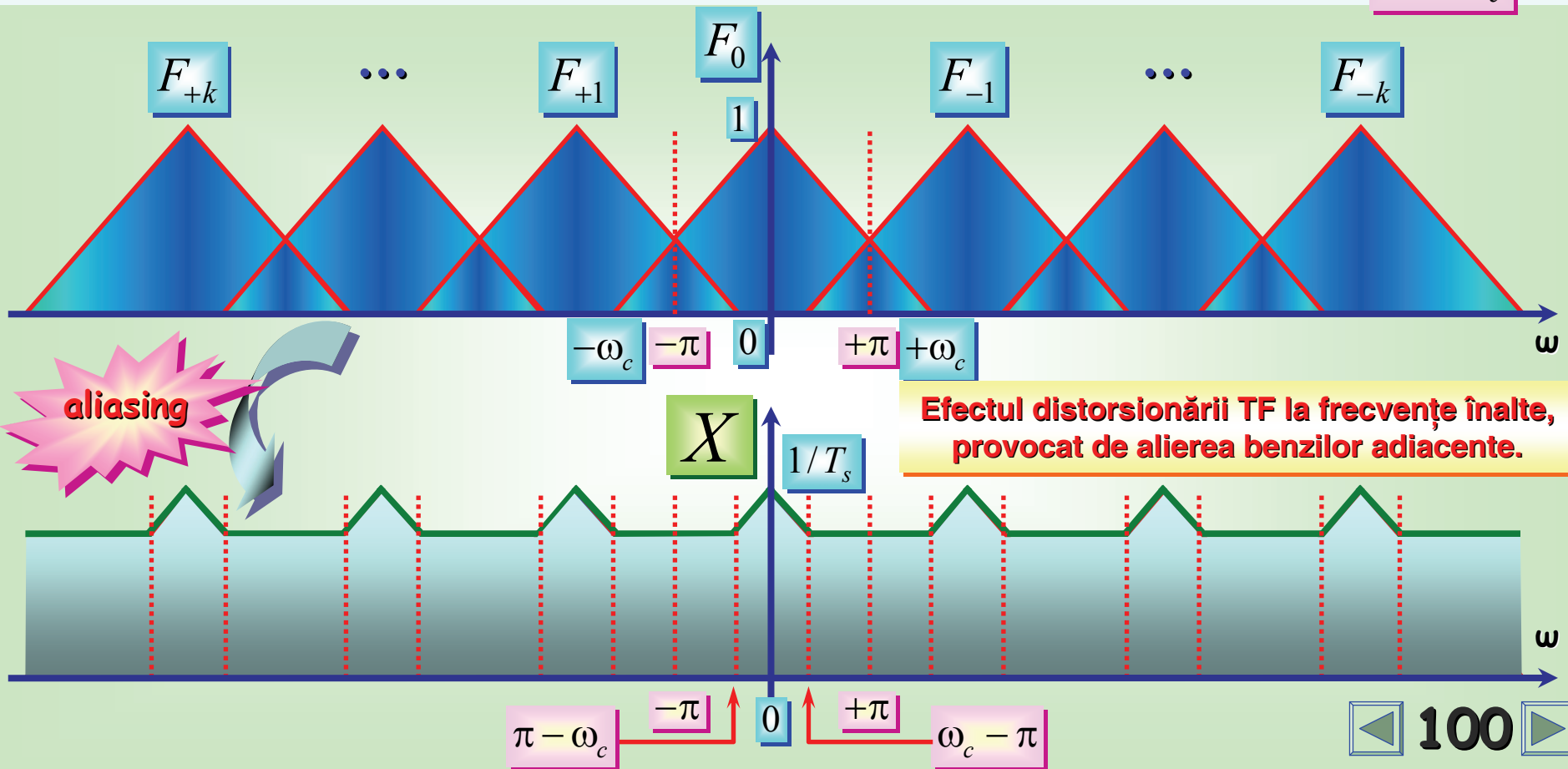
Exemplu (continuare)

Un semnal continuu cu TF triunghiulară

Două cazuri

- Suprapunerea benzilor de frecvență ale termenilor de aliere.
- Dihotomia benzilor de frecvență ale termenilor de aliere.

$$\text{Supp}(F_k) \cap \text{Supp}(F_{k+1}) \neq \emptyset \iff \omega_c - 2(k+1)\pi > -\omega_c - 2k\pi \iff \omega_c = \Omega_c T_s > \pi \iff T_s > \frac{\pi}{\Omega_c}$$



9 Noțiuni de eșantionare și interpolare

Efectul în frecvență al eșantionării (continuare)



↓ Cu cât T_s este mai redusă, cu atât deschiderea lobilor TCFD este mai mică.

Exemplu (continuare)

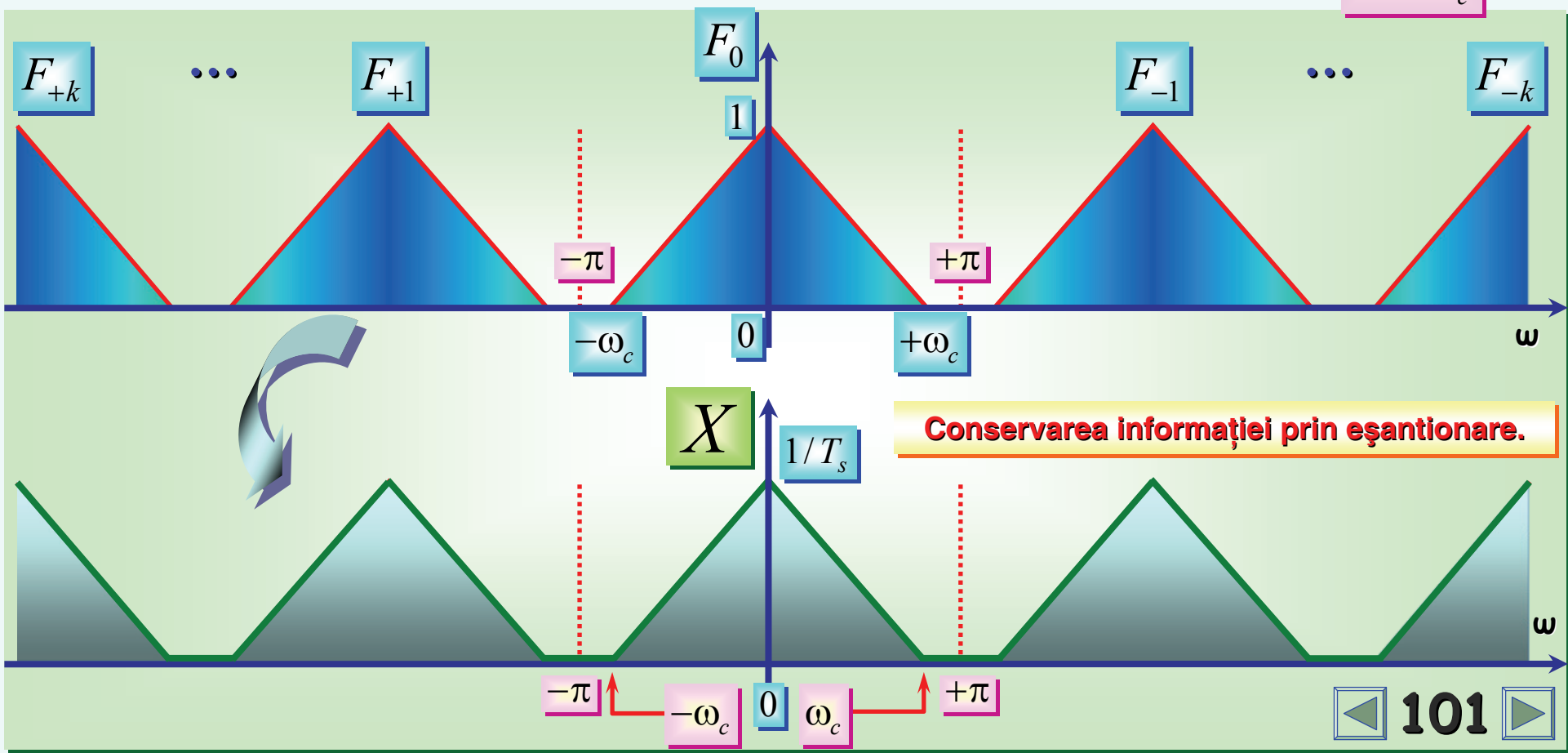
Un semnal continuu cu TF triunghiulară

Două cazuri

→ Suprapunerea benzilor de frecvență ale termenilor de aliere.

→ Dihotomia benzilor de frecvență ale termenilor de aliere.

$$\text{Supp}(F_k) \cap \text{Supp}(F_{k+1}) = \emptyset \iff \omega_c - 2(k+1)\pi \leq -\omega_c - 2k\pi \iff \omega_c = \Omega_c T_s \leq \pi \iff T_s \leq \frac{\pi}{\Omega_c}$$

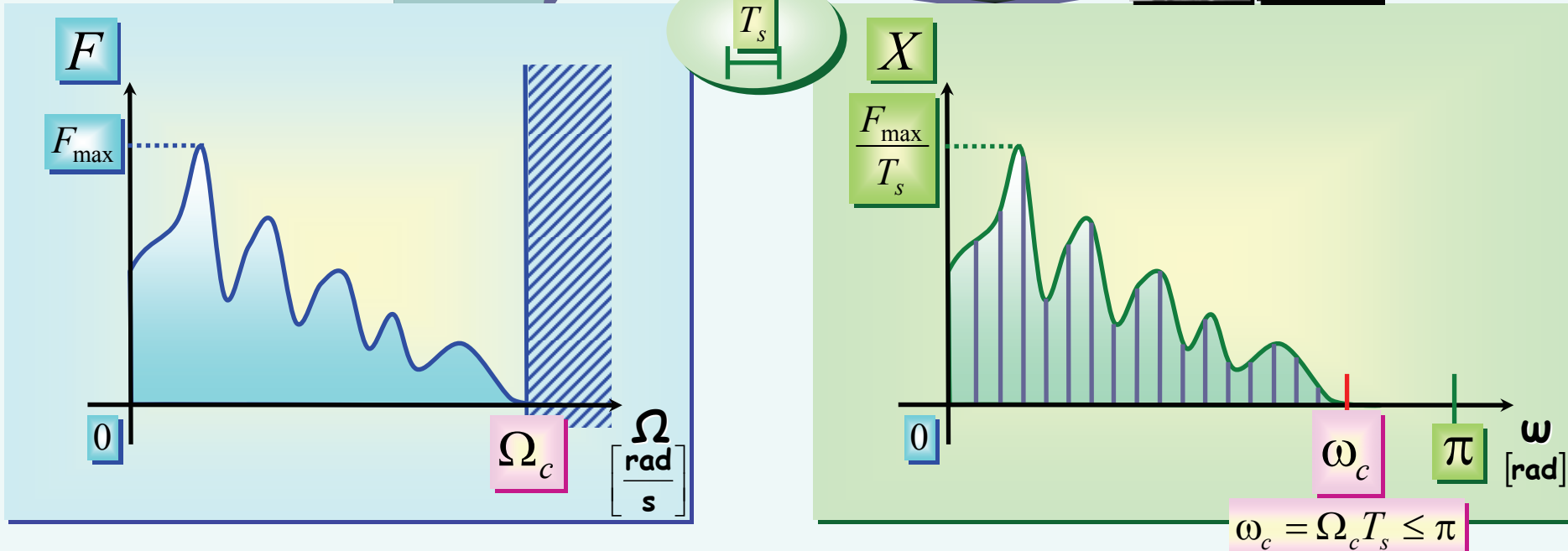


9 Noțiuni de eșantionare și interpolare

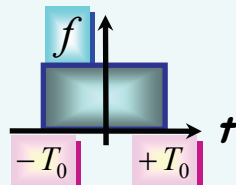
Efectul în frecvență al eșantionării (continuare)

Regula Shannon-Nyquist

Eșantionare



👉 Pentru a conserva informația transportată de semnalul original, frecvența de eșantionare trebuie să fie cel puțin egală cu dublul frecvenței de tăiere.



$$T_s \leq \frac{\pi}{\Omega_c} \iff F_s = \frac{1}{T_s} \geq \frac{\Omega_c}{\pi} = 2F_c$$

În aplicații

$$F_s \geq 2.1 \cdot F_c$$

Rata de eșantionare a lui Nyquist [Hz]

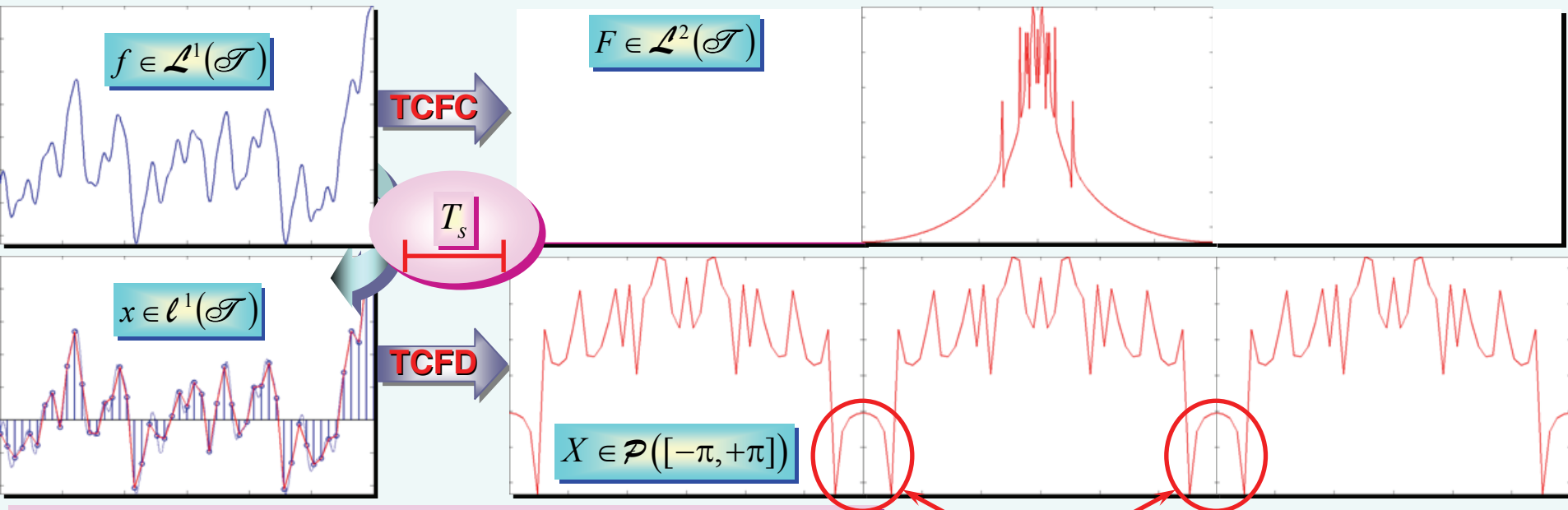
- Încercați să eșantionați un semnal continuu dreptunghiular simetric. Care ar fi F_s ?

9 Noțiuni de eșantionare și interpolare

Efectul în frecvență al eșantionării (continuare)

Atunci cînd spectrul semnalului discret conține puteri spectrale nenule în vecinătatea pulsațiilor $(2k+1)\pi$, **este posibilă apariția fenomenului de aliere în frecvență.**

Exemplu



De remarcat alurile apropiate ale variațiilor în timp, chiar și pentru interpolatorul liniar.

aliere în frecvență

Care sunt cauzele cele mai frecvente ale fenomenului de aliere?

- Necunoașterea frecvenței de tăiere a semnalului original.
- Alegerea inadecvată (din motive economice) a dispozitivului de eșantionare.
- Zgomotul de cuantificare.



9 Noțiuni de eșantionare și interpolare



Efectul în frecvență al eșantionării (final)

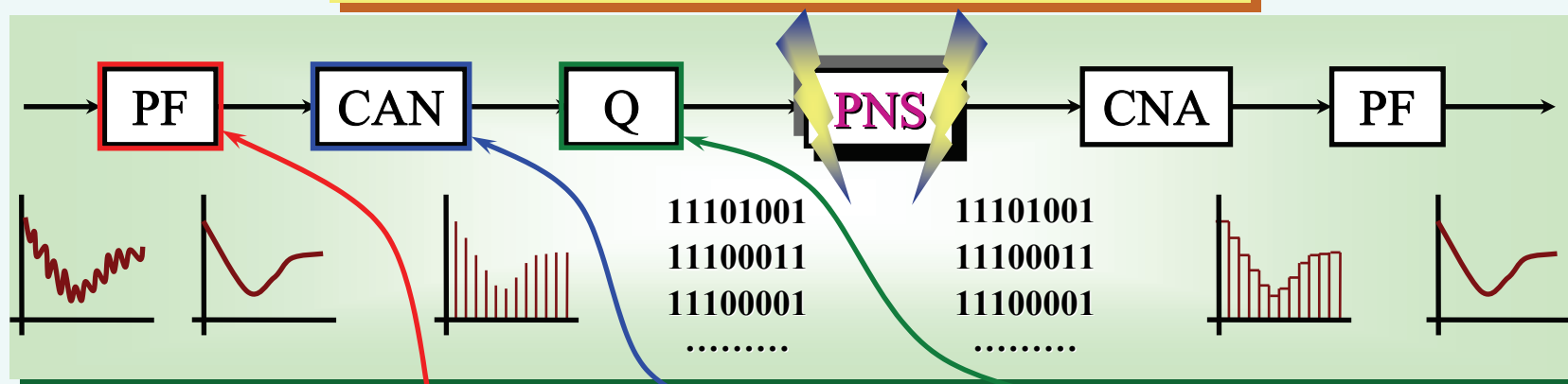
Cum se poate preveni /diminua fenomenul de aliere în frecvență?



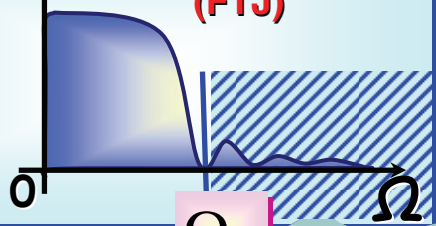
Cu ajutorul unei filtrări analogice preliminare.



O schemă clasică de prelucrare a semnalelor



$|H(j\Omega)|$ pre-filtrare analogică (FTJ)



suficient de mare $\rightarrow \Omega_a$

$$F_s \geq 2.1 \cdot \frac{\Omega_a}{2\pi} = 1.05 \frac{\Omega_a}{\pi}$$

Alegerea pulsației de tăiere analogice este totuși limitată din rațiuni economice.

Diminuarea zgomotului de cuantificare se poate realiza prin:

- \rightarrow Alegerea unui număr cît mai mare de biți/eșantion.
- \rightarrow Alocarea neuniformă a numărului de biți/eșantion.

Imperfecțiunile filtrului analogic (lobii paraziti) nu permit eliminarea totală a fenomenului de aliere.

- Acesta poate fi, însă, puternic atenuat.

Alierea în frecvență conduce la diminuarea performanțelor schemei de prelucrare a semnalelor.



9 Noțiuni de eșantionare și interpolare



Interpolarea secvențelor discrete de semnal

Două
cazuri

→ Semnalul a fost obținut prin eșantionare.

→ Semnalul a fost generat de un sistem discret sau nu se cunoaște perioada de eșantionare.

- Dacă eșantionarea este de tip **ne-uniform**, se recomandă utilizarea unei metode de interpolare corespunzătoare **cazului al doilea**.

- Dacă eșantionarea este de tip **uniform**, se face presupunerea că **s-a evitat/diminuat fenomenul de aliere în frecvență**.

Regula Shannon-Nyquist



$$T_s \leq \frac{\pi}{\Omega_c}$$

Propoziția 4 (relația de aliere în frecvență)

$$X(e^{j\omega})^{\text{apt}} = \frac{1}{T_s} \sum_{k \in \mathbb{Z}} F\left(j \frac{\omega + 2k\pi}{T_s}\right)$$

$\forall \omega \in \mathbb{R}$

$$X(e^{j\omega})^{\text{apt}} = \frac{1}{T_s} F\left(j \frac{\omega}{T_s}\right)$$

$\forall \omega \in [-\pi, +\pi]$

$F(j\Omega)$



$$\Omega_c \leq \frac{\pi}{T_s}$$

$$-\frac{\pi}{T_s} \left[\frac{\text{rad}}{\text{s}} \right]$$

$$-\Omega_c$$

$$+\frac{\pi}{T_s} \left[\frac{\text{rad}}{\text{s}} \right]$$

$$+\Omega_c$$

$$F(j\Omega)^{\text{apt}} = \begin{cases} T_s X(e^{j\Omega T_s}) & , \Omega \in \left[-\frac{\pi}{T_s}, +\frac{\pi}{T_s} \right] \\ 0 & , \Omega \in \mathbb{R} \setminus \left[-\frac{\pi}{T_s}, +\frac{\pi}{T_s} \right] \end{cases}$$

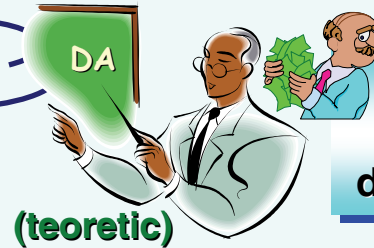
$$\text{Supp}(F) \subseteq \left[-\frac{\pi}{T_s}, +\frac{\pi}{T_s} \right]$$

9 Noțiuni de eșantionare și interpolare

Interpolarea secvențelor discrete de semnal (continuare)



Se poate reconstrui semnalul
continuu original?



(teoretic)

Se poate demonstra o relație de
interpolare exactă similară celei
din **Teorema Kotel'nikov-Shannon**

$F(j\Omega)$

TCFC⁻¹

$$f(t) \stackrel{\text{apt}}{=} \frac{1}{2\pi} \int_{-\infty}^{+\infty} F(j\Omega) e^{+j\Omega t} d\Omega = \frac{1}{2\pi} \int_{-\frac{\pi}{T_s}}^{+\frac{\pi}{T_s}} F(j\Omega) e^{+j\Omega t} d\Omega$$

$$F(j\Omega) \stackrel{\text{apt}}{=} T_s X(e^{j\Omega T_s})$$

$$f(t) \stackrel{\text{PC}}{=} \sum_{k \in \mathbb{Z}} f\left(\frac{k\pi}{\Omega_c}\right) \text{Sc}(\Omega_c t - k\pi) \quad \forall t \in \mathbb{R}$$

$$\text{Supp}(F) \subseteq \left[-\frac{\pi}{T_s}, +\frac{\pi}{T_s}\right]$$

$$X(e^{j\omega}) \stackrel{\text{def}}{=} \sum_{n \in \mathbb{Z}} x[n] e^{-j\omega n}$$

Integrala și suma
infinită sunt absolut
convergente, deci
comută

$$= \frac{T_s}{2\pi} \int_{-\frac{\pi}{T_s}}^{+\frac{\pi}{T_s}} X(e^{j\Omega T_s}) e^{+j\Omega t} d\Omega = \frac{T_s}{2\pi} \int_{-\frac{\pi}{T_s}}^{+\frac{\pi}{T_s}} \left(\sum_{n \in \mathbb{Z}} x[n] e^{-jn\Omega T_s} \right) e^{+j\Omega t} d\Omega$$

$$\stackrel{\text{PC}}{=} \frac{T_s}{2\pi} \sum_{n \in \mathbb{Z}} x[n] \int_{-\frac{\pi}{T_s}}^{+\frac{\pi}{T_s}} e^{j\Omega(t-nT_s)} d\Omega = \frac{T_s}{2\pi} \sum_{n \in \mathbb{Z}} x[n] \frac{e^{j\Omega(t-nT_s)}}{j(t-nT_s)} \bigg|_{\Omega=-\frac{\pi}{T_s}}^{\Omega=+\frac{\pi}{T_s}}$$

$$= \sum_{n \in \mathbb{Z}} x[n] \frac{e^{j\frac{\pi}{T_s}(t-nT_s)} - e^{-j\frac{\pi}{T_s}(t-nT_s)}}{2j\frac{\pi}{T_s}(t-nT_s)} = \sum_{n \in \mathbb{Z}} x[n] \frac{\sin\left[\frac{\pi}{T_s}(t-nT_s)\right]}{\frac{\pi}{T_s}(t-nT_s)}$$

sinus cardinal
(atenuat)

☞ Dacă semnalul
continuu este și
continuu (analogic),
suma de interpolare
este chiar
uniform convergentă
(UC).

9 Noțiuni de eșantionare și interpolare

Interpolarea secvențelor discrete de semnal (continuare)



👉 Poate fi utilizat și în cazul eșantionării incorecte, dar cu erori.

Interpolatorul exact

perioada de eșantionare a lui Nyquist

$$T_s \leq \frac{\pi}{\Omega_c}$$

Eșantionare corectă

Eșantionare la limită

$$T_s = \frac{\pi}{\Omega_c}$$

$$f(t) = \sum_{k \in \mathbb{Z}} f(kT_s) \text{Sc} \left[\frac{\pi}{T_s} (t - kT_s) \right] \quad \forall t \in \mathbb{R}$$

$$f(t) = \sum_{k \in \mathbb{Z}} f\left(\frac{k\pi}{\Omega_c}\right) \text{Sc}(\Omega_c t - k\pi) \quad \forall t \in \mathbb{R}$$

Teoretic. Dar practic?

Practic, suma trebuie trunchiată.

👉 Este un caz particular.

Eșantioanele de semnal se culeg pe un **orizont finit de măsură**.

$$f(t) \approx \sum_{k=0}^{N-1} f(kT_s) \text{Sc} \left[\frac{\pi}{T_s} (t - kT_s) \right] \quad \forall t \in \mathbb{R}$$

precizia crește cu numărul de eșantioane

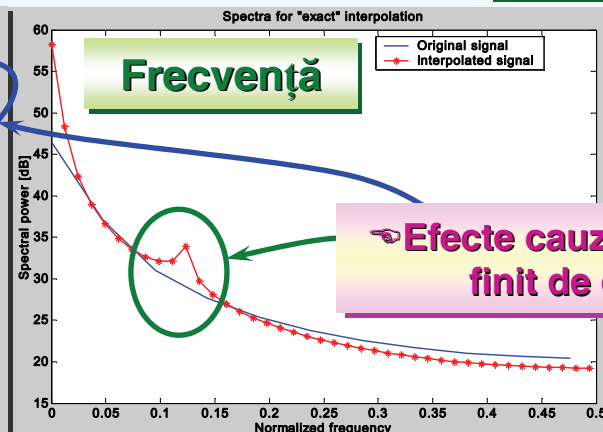
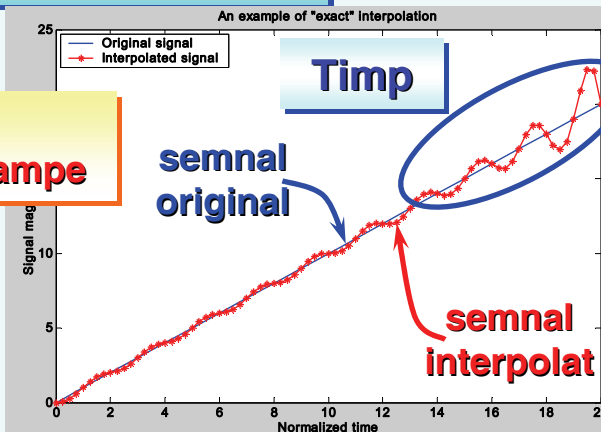
$$\text{Supp}(f) \subseteq [0, (N-1)T_s]$$

Exemplu

Eșantionarea-interpolarea unei rampe

Exercițiu

- Arătați de ce nu se poate evalua TCFC pentru o rampă.



👉 Efecte cauzate de numărul finit de eșantioane.